

Eingabe: Farbmimetrisches Reflexions-System NRS11

für Buntton $h^* = lab^*h = 24/360 = 0.067$

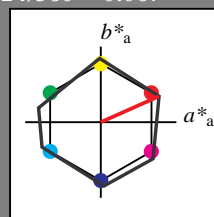
lab^*tch und lab^*nch

D65: Buntton R

LCH*Ma: 53 84 24

rgb*Ma: 1.0 0.0 0.0

Dreiecks-Helligkeit t^*



NRS11; adaptierte CIELAB-Daten

	$L^*=L_a^*$	a_a^*	b_a^*	$C_{ab,a}^*$	$h_{ab,a}^*$
RMa	53.2	77.06	34.32	84.36	24
JMa	53.2	-1.51	84.38	84.39	91
GMa	53.2	-82.27	18.98	84.44	167
G50B _{Ma}	53.2	-77.72	-32.98	84.44	203
B _{Ma}	53.2	4.37	-84.28	84.41	273
B50R _{Ma}	53.2	69.09	-48.41	84.37	325
N _{Ma}	10.99	0.0	0.0	0.0	0
W _{Ma}	95.41	0.0	0.0	0.0	0
RCIE	39.92	58.69	27.98	65.01	25
JCIE	81.26	-2.9	71.56	71.62	92
GCIE	52.23	-42.45	13.59	44.59	162
BCIE	30.57	1.35	-46.48	46.51	272

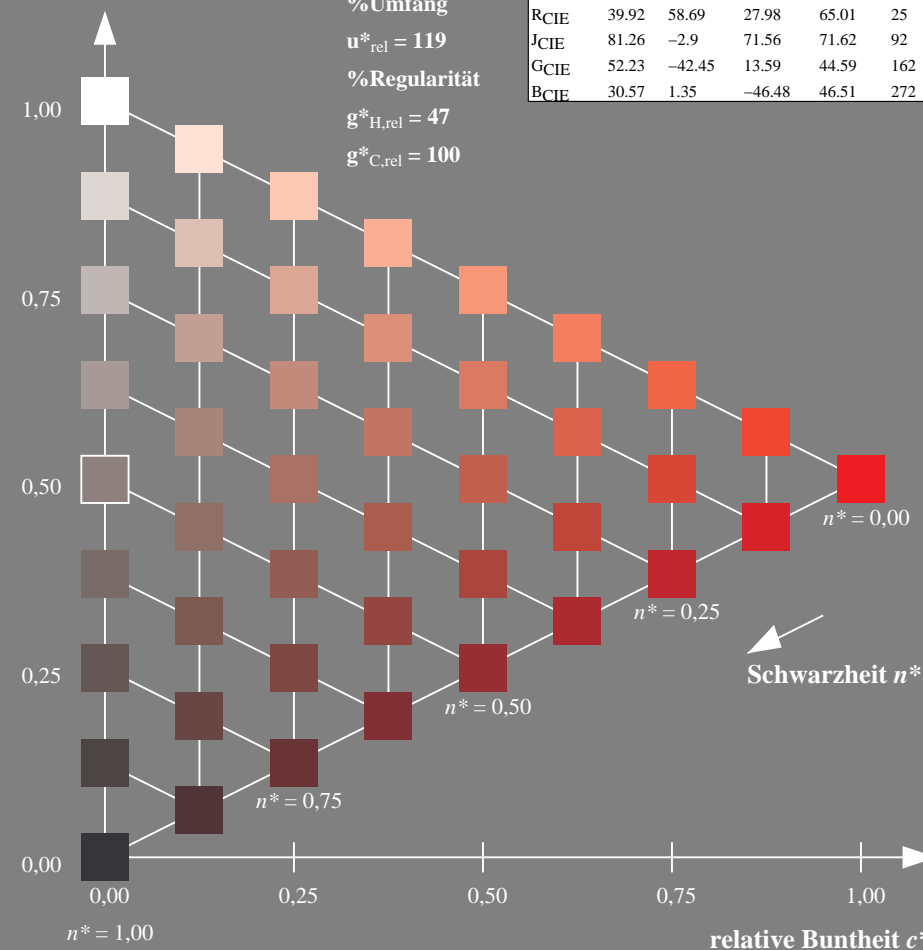
%Umfang

$u_{rel}^* = 119$

%Regularität

$g_{H,rel}^* = 47$

$g_{C,rel}^* = 100$



UG770-7, 9stufige Reihen für konstanten CIELAB Buntton 24/360 = 0.067 (links)

BAM-Prüfvorlage UG77; Farbmimetrik-Systeme NRS11 & ORS18
D65: 9 und 16stufige Farbreihen für 10 Bunttöne

Ausgabe: Farbmimetrisches Reflexions-System ORS18

für Buntton $h^* = lab^*h = 38/360 = 0.105$

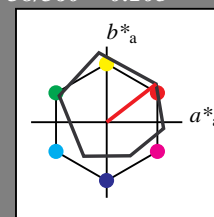
lab^*tch und lab^*nch

D65: Buntton O

LCH*Ma: 48 83 38

rgb*Ma: 1.0 0.0 0.0

Dreiecks-Helligkeit t^*



ORS18; adaptierte CIELAB-Daten

	$L^*=L_a^*$	a_a^*	b_a^*	$C_{ab,a}^*$	$h_{ab,a}^*$
OMa	47.94	65.37	50.52	82.62	38
YMa	90.37	-10.27	91.77	92.34	96
LMa	50.9	-62.79	34.95	71.87	151
CMa	58.62	-30.35	-45.01	54.3	236
VMa	25.71	31.11	-44.42	54.24	305
MMa	48.13	75.27	-8.35	75.73	354
N _{Ma}	18.01	0.0	0.0	0.0	0
W _{Ma}	95.41	0.0	0.0	0.0	0
RCIE	39.92	58.66	26.98	64.56	25
JCIE	81.26	-2.17	67.76	67.79	92
GCIE	52.23	-42.26	11.75	43.87	164
BCIE	30.57	1.15	-46.84	46.87	271

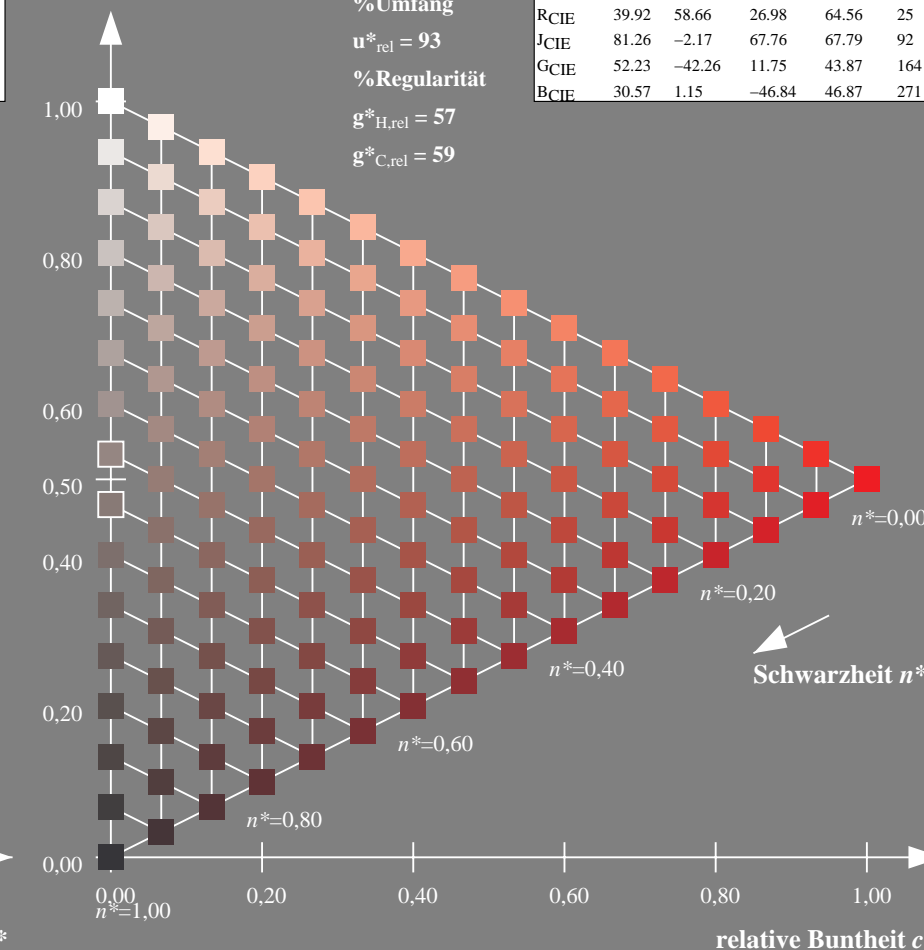
%Umfang

$u_{rel}^* = 93$

%Regularität

$g_{H,rel}^* = 57$

$g_{C,rel}^* = 59$



16stufige Reihen für konstanten CIELAB Buntton 38/360 = 0.105 (rechts)

input: $cmY0^*$ setcmykcolor
output: no change compared to input

Eingabe: Farbmétrisches Reflexions-System NRS11

für Buntton $h^* = lab^*h = 91/360 = 0.253$

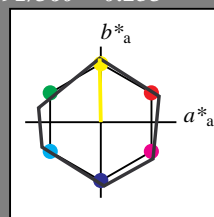
lab^*tch und lab^*nch

D65: Buntton J

LCH*Ma: 53 84 91

rgb*Ma: 1.0 1.0 0.0

Dreiecks-Helligkeit t^*



NRS11; adaptierte CIELAB-Daten

	$L^*=L_a^*$	a_a^*	b_a^*	$C_{ab,a}^*$	$h_{ab,a}^*$
RMa	53.2	77.06	34.32	84.36	24
JMa	53.2	-1.51	84.38	84.39	91
GMa	53.2	-82.27	18.98	84.44	167
G50B _{Ma}	53.2	-77.72	-32.98	84.44	203
B _{Ma}	53.2	4.37	-84.28	84.41	273
B50R _{Ma}	53.2	69.09	-48.41	84.37	325
N _{Ma}	10.99	0.0	0.0	0.0	0
W _{Ma}	95.41	0.0	0.0	0.0	0
RCIE	39.92	58.69	27.98	65.01	25
JCIE	81.26	-2.9	71.56	71.62	92
GCIE	52.23	-42.45	13.59	44.59	162
BCIE	30.57	1.35	-46.48	46.51	272

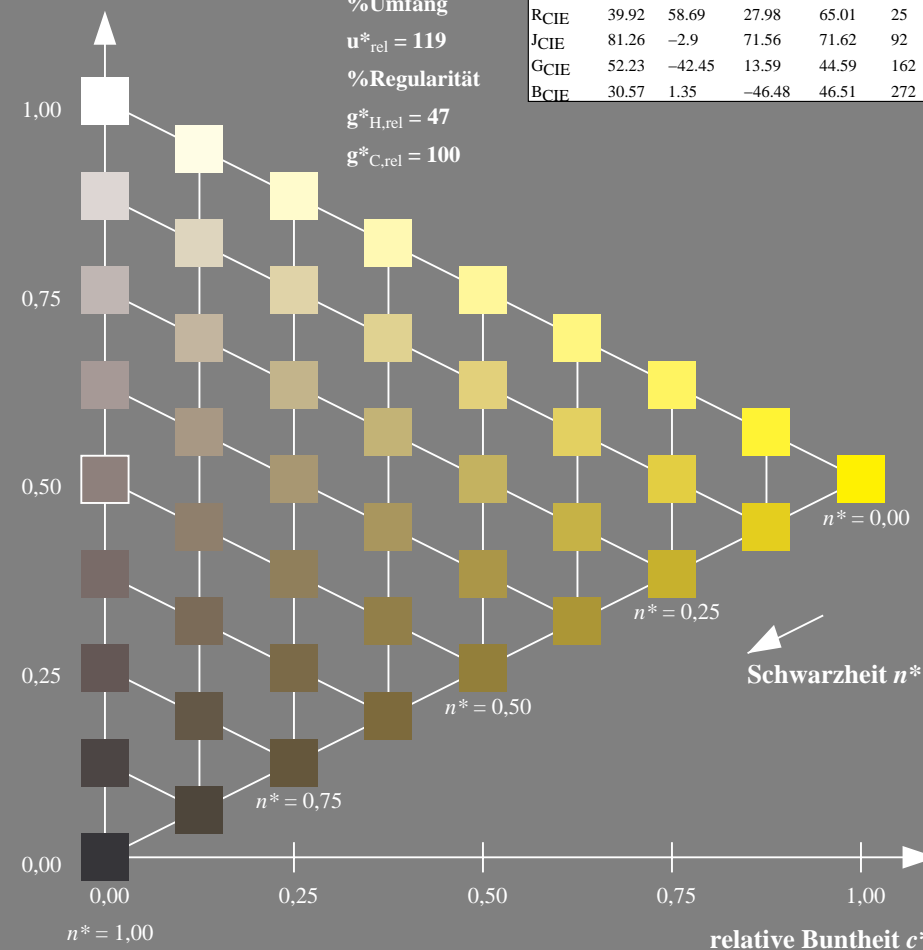
%Umfang

$u_{rel}^* = 119$

%Regularität

$g_{H,rel}^* = 47$

$g_{C,rel}^* = 100$



Ausgabe: Farbmétrisches Reflexions-System ORS18

für Buntton $h^* = lab^*h = 96/360 = 0.268$

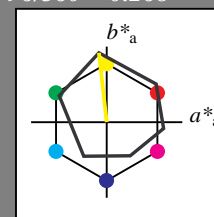
lab^*tch und lab^*nch

D65: Buntton Y

LCH*Ma: 90 92 96

rgb*Ma: 1.0 1.0 0.0

Dreiecks-Helligkeit t^*



ORS18; adaptierte CIELAB-Daten

	$L^*=L_a^*$	a_a^*	b_a^*	$C_{ab,a}^*$	$h_{ab,a}^*$
OMa	47.94	65.37	50.52	82.62	38
YMa	90.37	-10.27	91.77	92.34	96
LMa	50.9	-62.79	34.95	71.87	151
CMa	58.62	-30.35	-45.01	54.3	236
VMa	25.71	31.11	-44.42	54.24	305
MMa	48.13	75.27	-8.35	75.73	354
N _{Ma}	18.01	0.0	0.0	0.0	0
W _{Ma}	95.41	0.0	0.0	0.0	0
RCIE	39.92	58.66	26.98	64.56	25
JCIE	81.26	-2.17	67.76	67.79	92
GCIE	52.23	-42.26	11.75	43.87	164
BCIE	30.57	1.15	-46.84	46.87	271

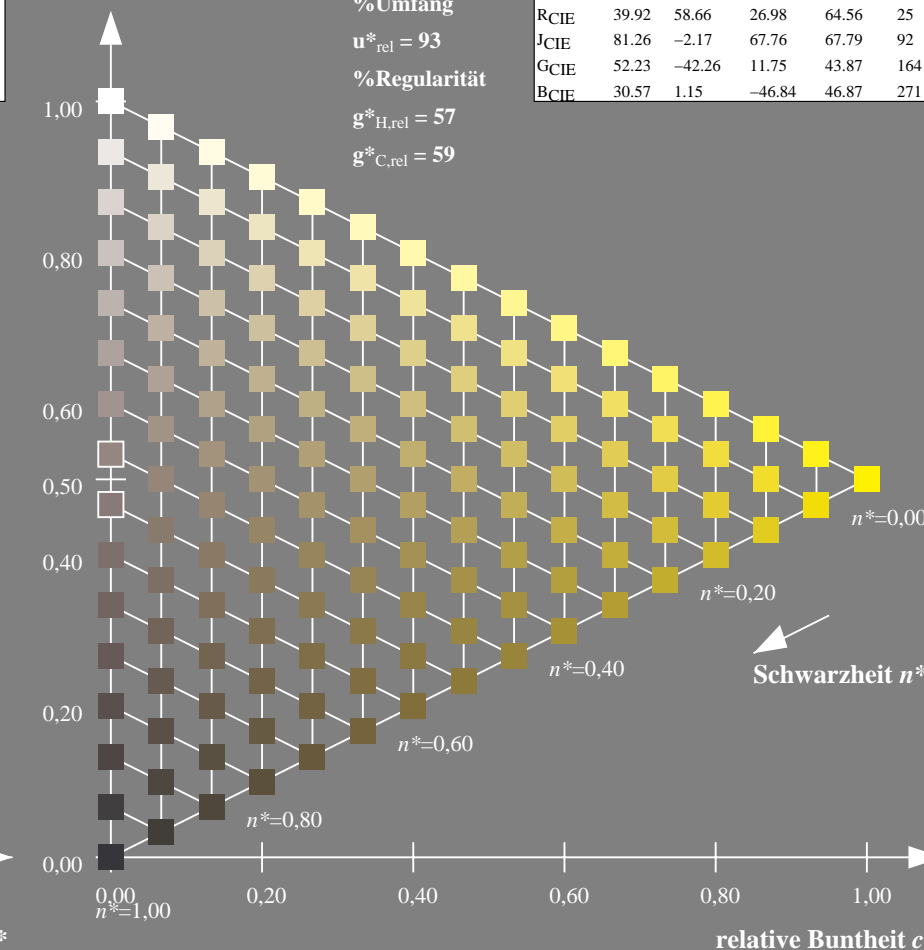
%Umfang

$u_{rel}^* = 93$

%Regularität

$g_{H,rel}^* = 57$

$g_{C,rel}^* = 59$



UG770-7, 9stufige Reihen für konstanten CIELAB Buntton 91/360 = 0.253 (links)

16stufige Reihen für konstanten CIELAB Buntton 96/360 = 0.268 (rechts)

BAM-Prüfvorlage UG77; Farbmétrik-Systeme NRS11 & ORS18input: *cmY0* setcmykcolor*

D65: 9 und 16stufige Farbreihen für 10 Bunttöne

output: *no change compared to input*

Eingabe: Farbmétrisches Reflexions-System NRS11

für Buntton $h^* = lab^*h = 167/360 = 0.464$

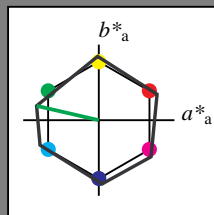
lab^*tch und lab^*nch

D65: Buntton G

LCH*Ma: 53 84 167

rgb*Ma: 0.0 1.0 0.0

Dreiecks-Helligkeit t^*



NRS11; adaptierte CIELAB-Daten

	$L^*=L^*_a$	a^*_a	b^*_a	$C^*_{ab,a}$	$h^*_{ab,a}$
RMa	53.2	77.06	34.32	84.36	24
JMa	53.2	-1.51	84.38	84.39	91
GMa	53.2	-82.27	18.98	84.44	167
G50B _{Ma}	53.2	-77.72	-32.98	84.44	203
B _{Ma}	53.2	4.37	-84.28	84.41	273
B50R _{Ma}	53.2	69.09	-48.41	84.37	325
N _{Ma}	10.99	0.0	0.0	0.0	0
W _{Ma}	95.41	0.0	0.0	0.0	0
RCIE	39.92	58.69	27.98	65.01	25
JCIE	81.26	-2.9	71.56	71.62	92
GCIE	52.23	-42.45	13.59	44.59	162
BCIE	30.57	1.35	-46.48	46.51	272

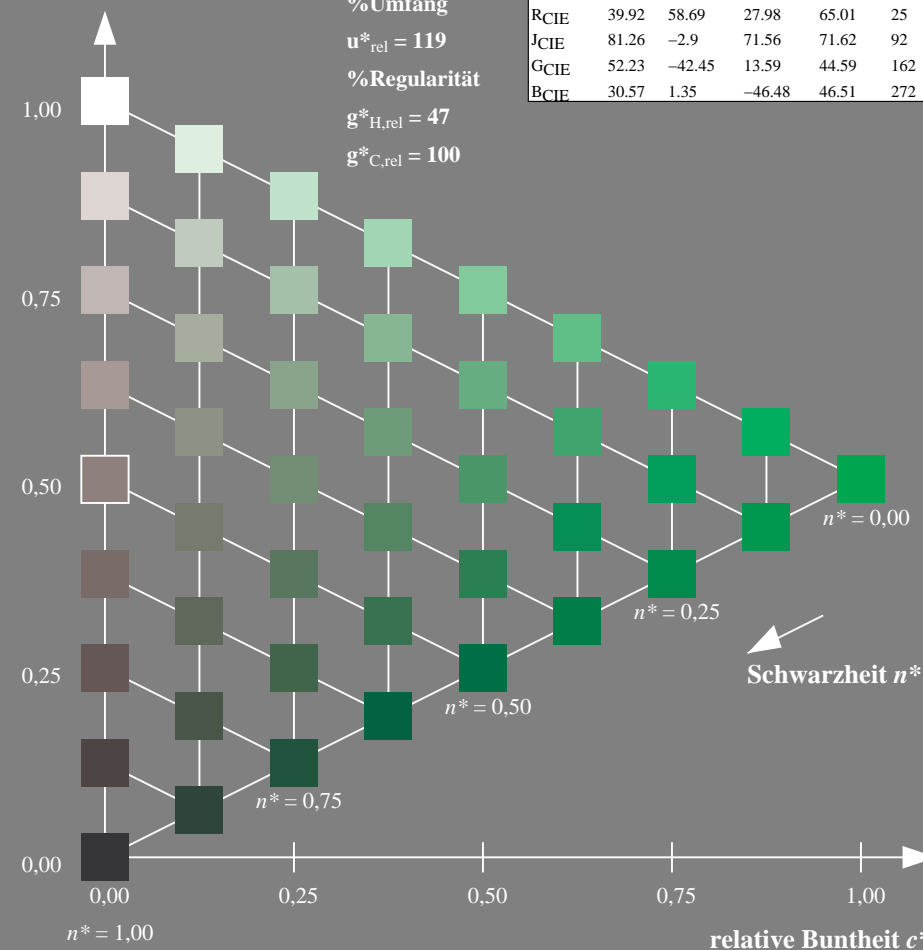
%Umfang

$u^*_{rel} = 119$

%Regularität

$g^*_{H,rel} = 47$

$g^*_{C,rel} = 100$



UG770-7, 9stufige Reihen für konstanten CIELAB Buntton 167/360 = 0.464 (links)

BAM-Prüfvorlage UG77; Farbmétrik-Systeme NRS11 & ORS18
D65: 9 und 16stufige Farbreihen für 10 Bunttöne

Ausgabe: Farbmétrisches Reflexions-System ORS18

für Buntton $h^* = lab^*h = 151/360 = 0.419$

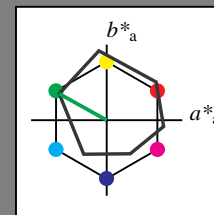
lab^*tch und lab^*nch

D65: Buntton L

LCH*Ma: 51 72 151

rgb*Ma: 0.0 1.0 0.0

Dreiecks-Helligkeit t^*



ORS18; adaptierte CIELAB-Daten

	$L^*=L^*_a$	a^*_a	b^*_a	$C^*_{ab,a}$	$h^*_{ab,a}$
OMa	47.94	65.37	50.52	82.62	38
YMa	90.37	-10.27	91.77	92.34	96
LMa	50.9	-62.79	34.95	71.87	151
CMa	58.62	-30.35	-45.01	54.3	236
VMa	25.71	31.11	-44.42	54.24	305
MMa	48.13	75.27	-8.35	75.73	354
N _{Ma}	18.01	0.0	0.0	0.0	0
W _{Ma}	95.41	0.0	0.0	0.0	0
RCIE	39.92	58.66	26.98	64.56	25
JCIE	81.26	-2.17	67.76	67.79	92
GCIE	52.23	-42.26	11.75	43.87	164
BCIE	30.57	1.15	-46.84	46.87	271

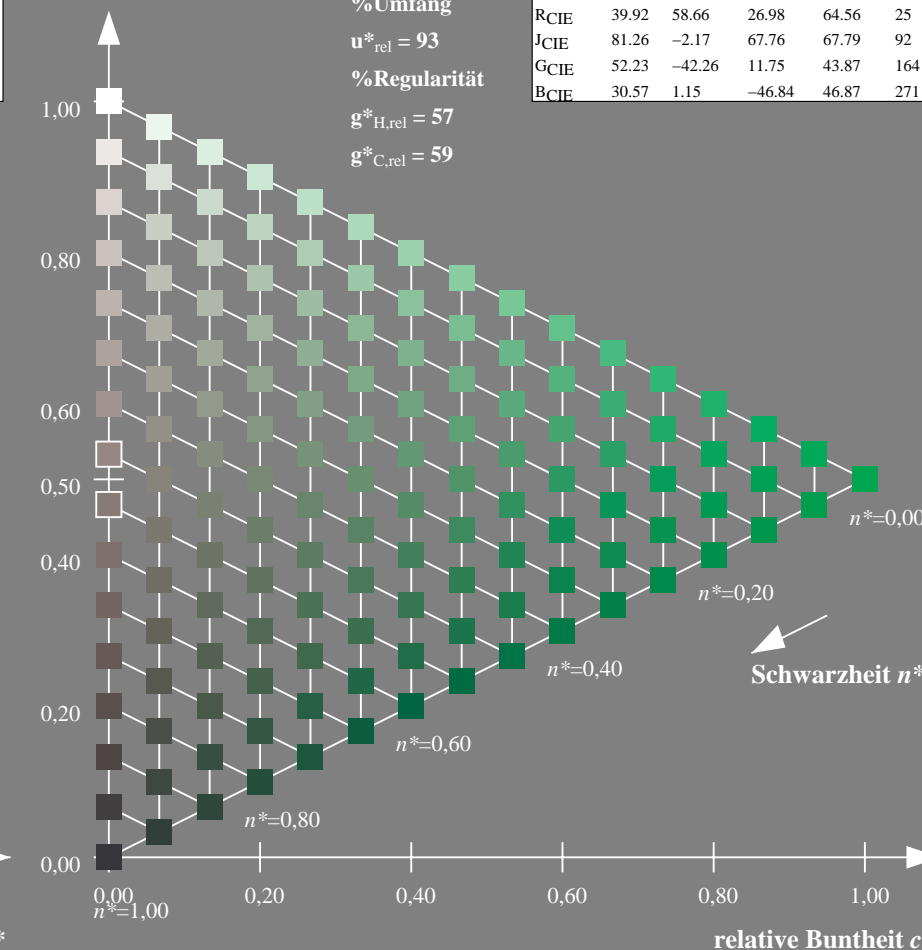
%Umfang

$u^*_{rel} = 93$

%Regularität

$g^*_{H,rel} = 57$

$g^*_{C,rel} = 59$



16stufige Reihen für konstanten CIELAB Buntton 151/360 = 0.419 (rechts)

input: $cmy0^* setcmykcolor$
output: no change compared to input

Eingabe: Farbmimetrisches Reflexions-System NRS11

für Buntton $h^* = lab^*h = 203/360 = 0.564$

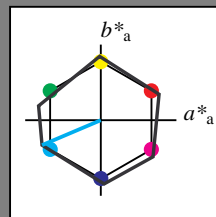
lab^*tch und lab^*nch

D65: Buntton G50B

LCH*Ma: 53 84 203

rgb*Ma: 0.0 1.0 1.0

Dreiecks-Helligkeit t^*



NRS11; adaptierte CIELAB-Daten

	$L^*=L^*_a$	a^*_a	b^*_a	$C^*_{ab,a}$	$h^*_{ab,a}$
RMa	53.2	77.06	34.32	84.36	24
JMa	53.2	-1.51	84.38	84.39	91
GMa	53.2	-82.27	18.98	84.44	167
G50B _{Ma}	53.2	-77.72	-32.98	84.44	203
B _{Ma}	53.2	4.37	-84.28	84.41	273
B50R _{Ma}	53.2	69.09	-48.41	84.37	325
N _{Ma}	10.99	0.0	0.0	0.0	0
W _{Ma}	95.41	0.0	0.0	0.0	0
RCIE	39.92	58.69	27.98	65.01	25
JCIE	81.26	-2.9	71.56	71.62	92
GCIE	52.23	-42.45	13.59	44.59	162
BCIE	30.57	1.35	-46.48	46.51	272

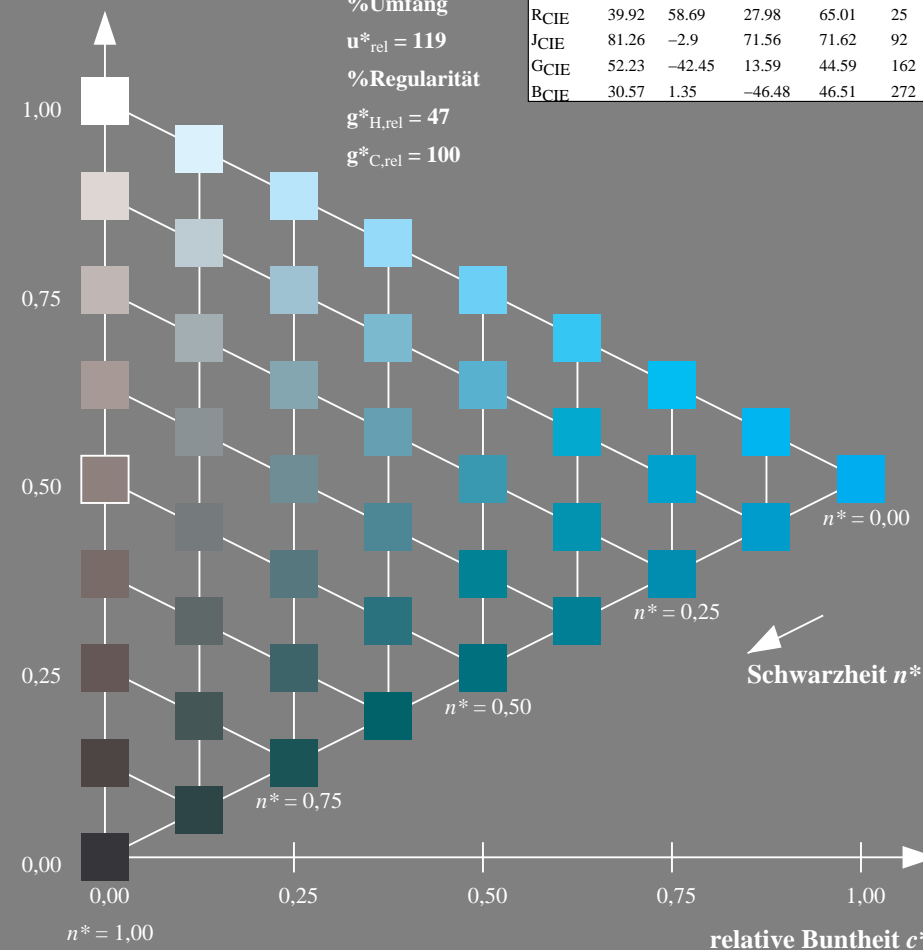
%Umfang

$u^*_{rel} = 119$

%Regularität

$g^*_{H,rel} = 47$

$g^*_{C,rel} = 100$



UG770-7, 9stufige Reihen für konstanten CIELAB Buntton 203/360 = 0.564 (links)

BAM-Prüfvorlage UG77; Farbmimetrik-Systeme NRS11 & ORS18
D65: 9 und 16stufige Farbreihen für 10 Bunttöne

Ausgabe: Farbmimetrisches Reflexions-System ORS18

für Buntton $h^* = lab^*h = 236/360 = 0.656$

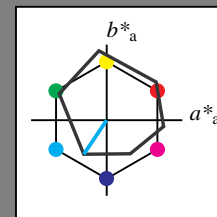
lab^*tch und lab^*nch

D65: Buntton C

LCH*Ma: 59 54 236

rgb*Ma: 0.0 1.0 1.0

Dreiecks-Helligkeit t^*



ORS18; adaptierte CIELAB-Daten

	$L^*=L^*_a$	a^*_a	b^*_a	$C^*_{ab,a}$	$h^*_{ab,a}$
OMa	47.94	65.37	50.52	82.62	38
YMa	90.37	-10.27	91.77	92.34	96
LMa	50.9	-62.79	34.95	71.87	151
CMa	58.62	-30.35	-45.01	54.3	236
VMa	25.71	31.11	-44.42	54.24	305
MMa	48.13	75.27	-8.35	75.73	354
N _{Ma}	18.01	0.0	0.0	0.0	0
W _{Ma}	95.41	0.0	0.0	0.0	0
RCIE	39.92	58.66	26.98	64.56	25
JCIE	81.26	-2.17	67.76	67.79	92
GCIE	52.23	-42.26	11.75	43.87	164
BCIE	30.57	1.15	-46.84	46.87	271

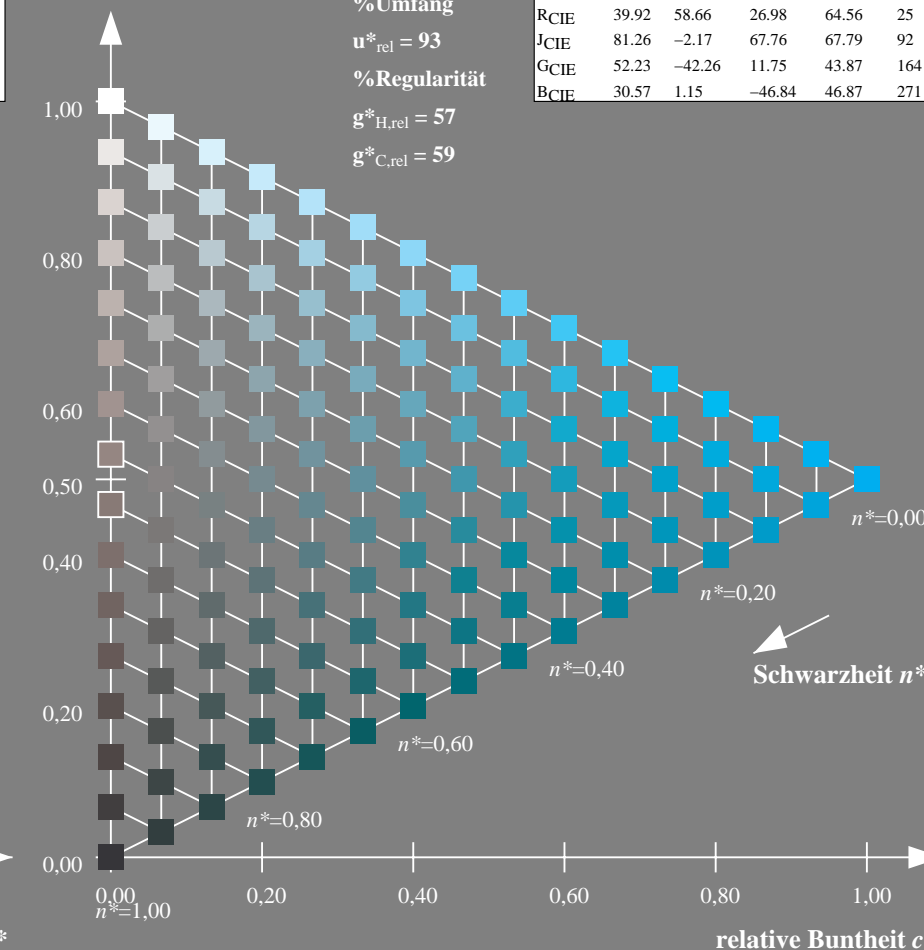
%Umfang

$u^*_{rel} = 93$

%Regularität

$g^*_{H,rel} = 57$

$g^*_{C,rel} = 59$



16stufige Reihen für konstanten CIELAB Buntton 236/360 = 0.656 (rechts)

input: $cmy0^*$ setcmykcolor
output: no change compared to input

Eingabe: Farbmimetrisches Reflexions-System NRS11

für Buntton $h^* = lab^*h = 273/360 = 0,758$

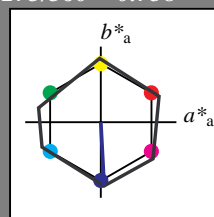
lab^*tch und lab^*nch

D65: Buntton B

LCH*Ma: 53 84 273

rgb*Ma: 0.0 0.0 1.0

Dreiecks-Helligkeit t^*



NRS11; adaptierte CIELAB-Daten

	$L^*=L_a^*$	a_a^*	b_a^*	$C_{ab,a}^*$	$h_{ab,a}^*$
RMa	53.2	77.06	34.32	84.36	24
JMa	53.2	-1.51	84.38	84.39	91
GMa	53.2	-82.27	18.98	84.44	167
G50B _{Ma}	53.2	-77.72	-32.98	84.44	203
B _{Ma}	53.2	4.37	-84.28	84.41	273
B50R _{Ma}	53.2	69.09	-48.41	84.37	325
N _{Ma}	10.99	0.0	0.0	0.0	0
W _{Ma}	95.41	0.0	0.0	0.0	0
RCIE	39.92	58.69	27.98	65.01	25
JCIE	81.26	-2.9	71.56	71.62	92
GCIE	52.23	-42.45	13.59	44.59	162
BCIE	30.57	1.35	-46.48	46.51	272

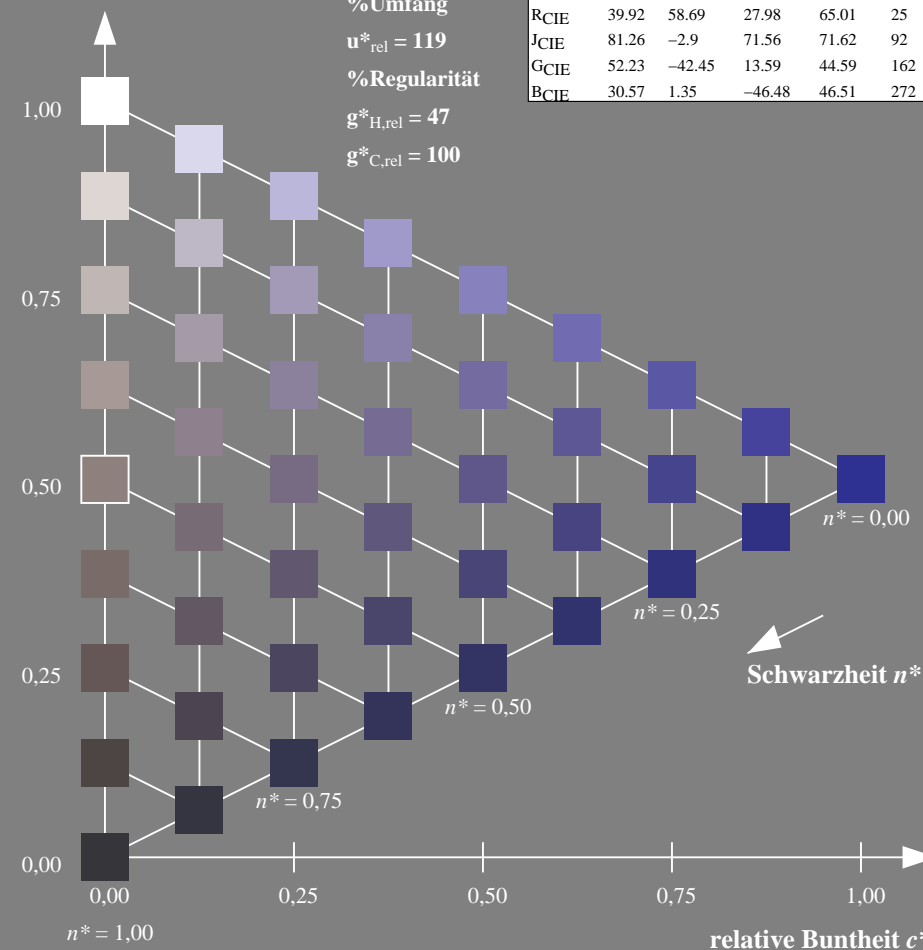
%Umfang

$u_{rel}^* = 119$

%Regularität

$g_{H,rel}^* = 47$

$g_{C,rel}^* = 100$



UG770-7, 9stufige Reihen für konstanten CIELAB Buntton 273/360 = 0.758 (links)

BAM-Prüfvorlage UG77; Farbmimetrik-Systeme NRS11 & ORS18
D65: 9 und 16stufige Farbreihen für 10 Bunttöne

Ausgabe: Farbmimetrisches Reflexions-System ORS18

für Buntton $h^* = lab^*h = 305/360 = 0,847$

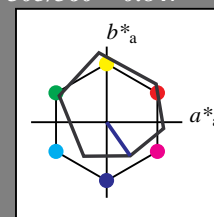
lab^*tch und lab^*nch

D65: Buntton V

LCH*Ma: 26 54 305

rgb*Ma: 0.0 0.0 1.0

Dreiecks-Helligkeit t^*



ORS18; adaptierte CIELAB-Daten

	$L^*=L_a^*$	a_a^*	b_a^*	$C_{ab,a}^*$	$h_{ab,a}^*$
OMa	47.94	65.37	50.52	82.62	38
YMa	90.37	-10.27	91.77	92.34	96
LMa	50.9	-62.79	34.95	71.87	151
CMa	58.62	-30.35	-45.01	54.3	236
V _{Ma}	25.71	31.11	-44.42	54.24	305
M _{Ma}	48.13	75.27	-8.35	75.73	354
N _{Ma}	18.01	0.0	0.0	0.0	0
W _{Ma}	95.41	0.0	0.0	0.0	0
RCIE	39.92	58.66	26.98	64.56	25
JCIE	81.26	-2.17	67.76	67.79	92
GCIE	52.23	-42.26	11.75	43.87	164
BCIE	30.57	1.15	-46.84	46.87	271

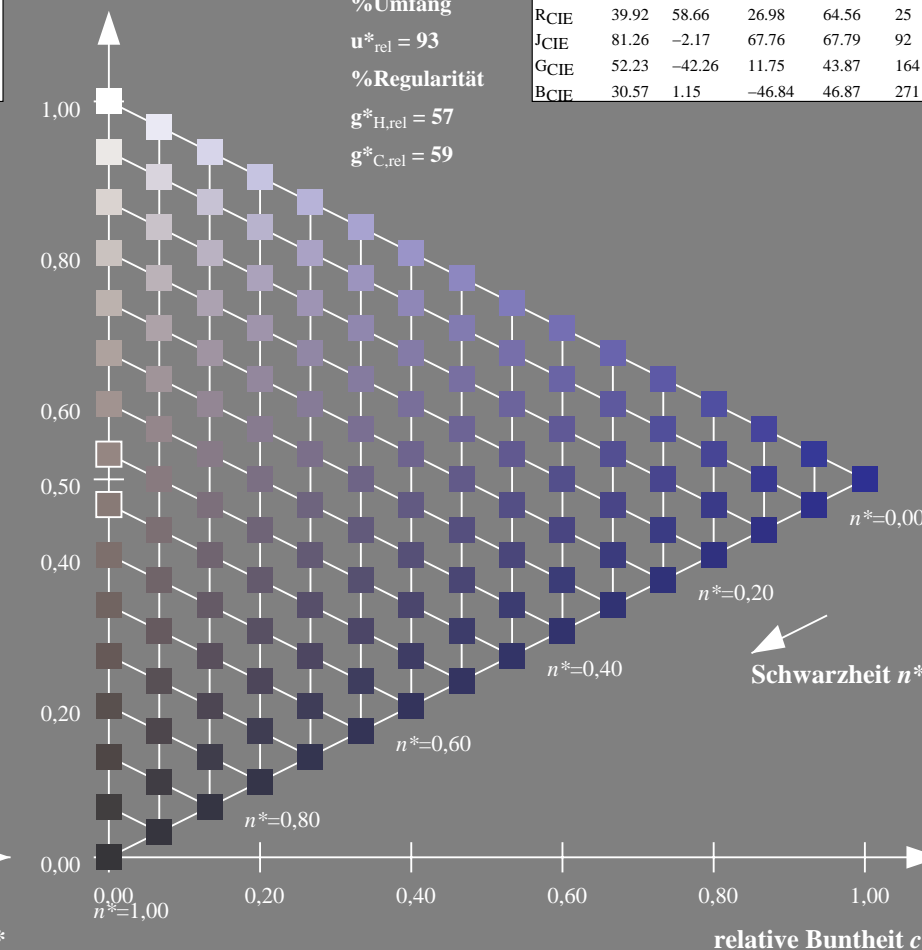
%Umfang

$u_{rel}^* = 93$

%Regularität

$g_{H,rel}^* = 57$

$g_{C,rel}^* = 59$



16stufige Reihen für konstanten CIELAB Buntton 305/360 = 0.847 (rechts)

input: $cmY0^*$ $setcmykcolor$
output: no change compared to input

Eingabe: Farbmimetrisches Reflexions-System NRS11

für Buntton $h^* = lab^*h = 325/360 = 0.903$

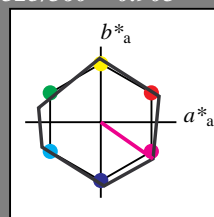
lab^*tch und lab^*nch

D65: Buntton B50R

LCH*Ma: 53 84 325

rgb*Ma: 1.0 0.0 1.0

Dreiecks-Helligkeit t^*



NRS11; adaptierte CIELAB-Daten

	$L^*=L_a^*$	a_a^*	b_a^*	$C_{ab,a}^*$	$h_{ab,a}^*$
RMa	53.2	77.06	34.32	84.36	24
JMa	53.2	-1.51	84.38	84.39	91
GMa	53.2	-82.27	18.98	84.44	167
G50B _{Ma}	53.2	-77.72	-32.98	84.44	203
B _{Ma}	53.2	4.37	-84.28	84.41	273
B50R _{Ma}	53.2	69.09	-48.41	84.37	325
N _{Ma}	10.99	0.0	0.0	0.0	0
W _{Ma}	95.41	0.0	0.0	0.0	0
RCIE	39.92	58.69	27.98	65.01	25
JCIE	81.26	-2.9	71.56	71.62	92
GCIE	52.23	-42.45	13.59	44.59	162
BCIE	30.57	1.35	-46.48	46.51	272

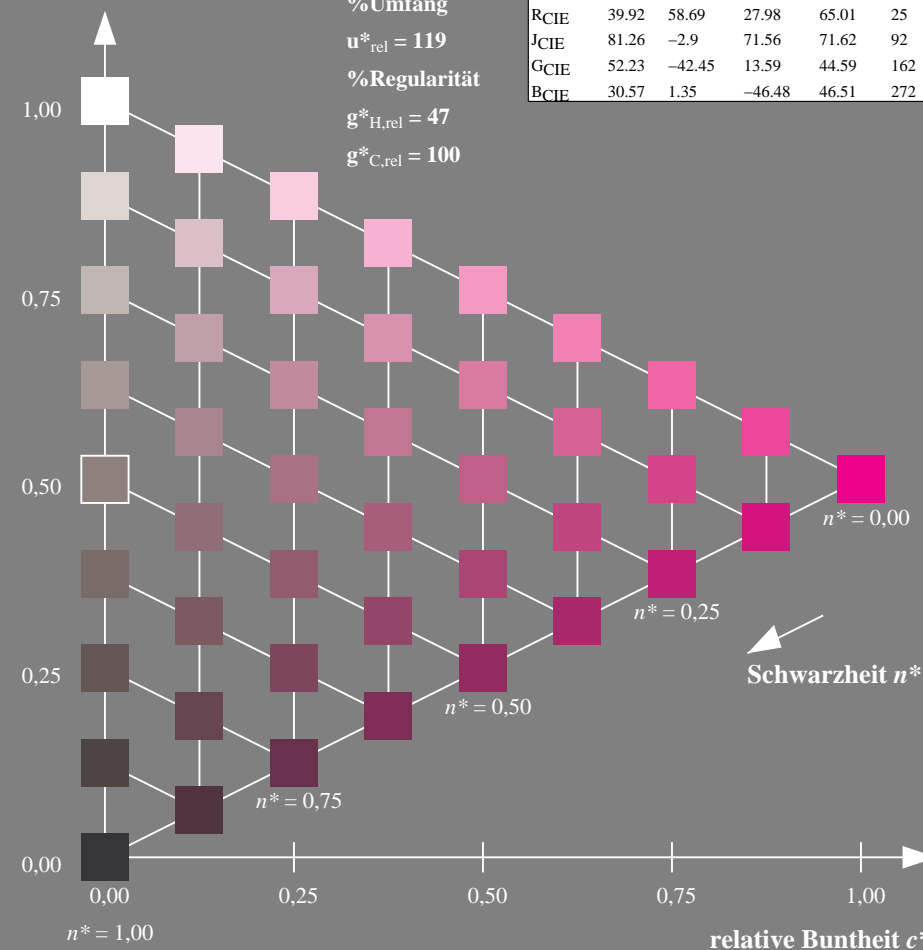
%Umfang

$u_{rel}^* = 119$

%Regularität

$g_{H,rel}^* = 47$

$g_{C,rel}^* = 100$



UG770-7, 9stufige Reihen für konstanten CIELAB Buntton 325/360 = 0.903 (links)

BAM-Prüfvorlage UG77; Farbmimetrik-Systeme NRS11 & ORS18
D65: 9 und 16stufige Farbreihen für 10 Bunttöne

Ausgabe: Farbmimetrisches Reflexions-System ORS18

für Buntton $h^* = lab^*h = 354/360 = 0.982$

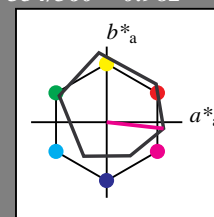
lab^*tch und lab^*nch

D65: Buntton M

LCH*Ma: 48 76 354

rgb*Ma: 1.0 0.0 1.0

Dreiecks-Helligkeit t^*



ORS18; adaptierte CIELAB-Daten

	$L^*=L_a^*$	a_a^*	b_a^*	$C_{ab,a}^*$	$h_{ab,a}^*$
OMa	47.94	65.37	50.52	82.62	38
YMa	90.37	-10.27	91.77	92.34	96
LMa	50.9	-62.79	34.95	71.87	151
CMa	58.62	-30.35	-45.01	54.3	236
VMa	25.71	31.11	-44.42	54.24	305
MMa	48.13	75.27	-8.35	75.73	354
N _{Ma}	18.01	0.0	0.0	0.0	0
W _{Ma}	95.41	0.0	0.0	0.0	0
RCIE	39.92	58.66	26.98	64.56	25
JCIE	81.26	-2.17	67.76	67.79	92
GCIE	52.23	-42.26	11.75	43.87	164
BCIE	30.57	1.15	-46.84	46.87	271

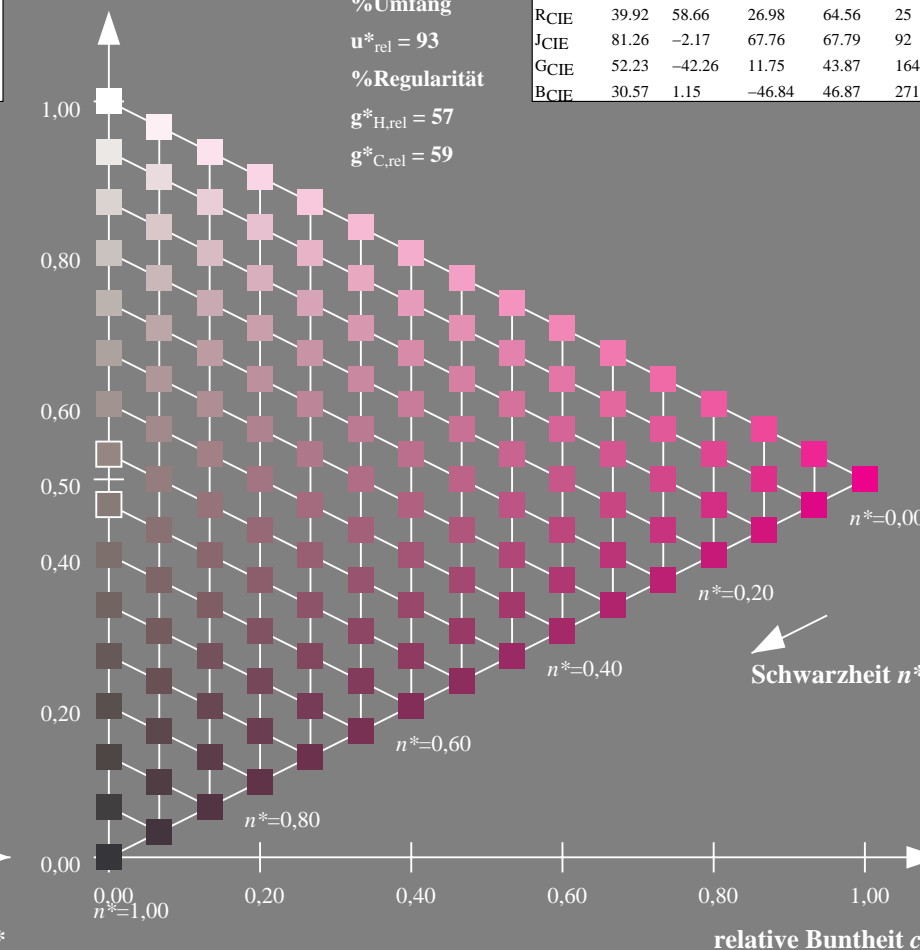
%Umfang

$u_{rel}^* = 93$

%Regularität

$g_{H,rel}^* = 57$

$g_{C,rel}^* = 59$



16stufige Reihen für konstanten CIELAB Buntton 354/360 = 0.982 (rechts)

input: $cmY0^*$ set $cmYcolor$
output: no change compared to input

Eingabe: Farbmimetrisches Reflexions-System NRS11

für Buntton $h^* = lab^*h = 25/360 = 0.071$

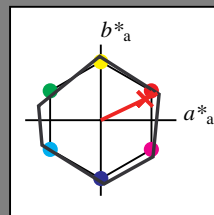
lab^*tch und lab^*nch

D65: Buntton R

LCH*Ma: 53 83 25

rgb*Ma: 1.0 0.03 0.0

Dreiecks-Helligkeit t^*



NRS11; adaptierte CIELAB-Daten

	$L^*=L^*_a$	a^*_a	b^*_a	$C^*_{ab,a}$	$h^*_{ab,a}$
RMa	53.2	77.06	34.32	84.36	24
JMa	53.2	-1.51	84.38	84.39	91
GMa	53.2	-82.27	18.98	84.44	167
G50B _{Ma}	53.2	-77.72	-32.98	84.44	203
B _{Ma}	53.2	4.37	-84.28	84.41	273
B50R _{Ma}	53.2	69.09	-48.41	84.37	325
N _{Ma}	10.99	0.0	0.0	0.0	0
W _{Ma}	95.41	0.0	0.0	0.0	0
RCIE	39.92	58.69	27.98	65.01	25
JCIE	81.26	-2.9	71.56	71.62	92
GCIE	52.23	-42.45	13.59	44.59	162
BCIE	30.57	1.35	-46.48	46.51	272

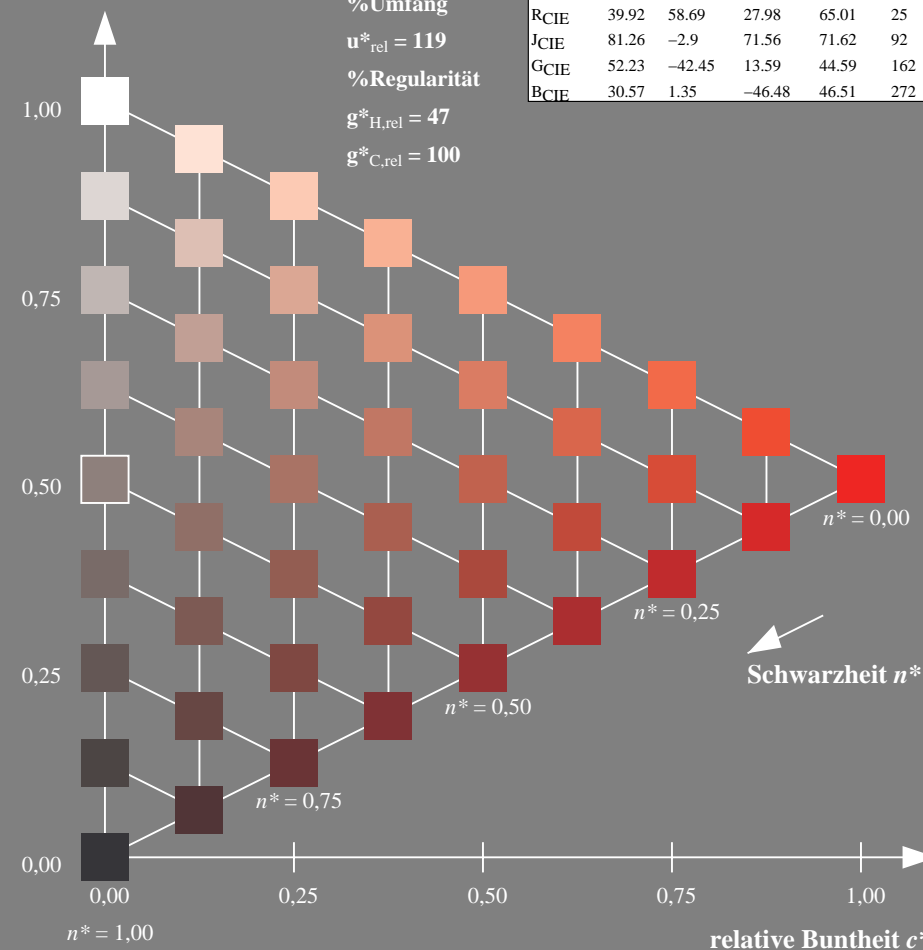
%Umfang

$u^*_{rel} = 119$

%Regularität

$g^*_{H,rel} = 47$

$g^*_{C,rel} = 100$



UG770-7, 9stufige Reihen für konstanten CIELAB Buntton 25/360 = 0.071 (links)

BAM-Prüfvorlage UG77; Farbmimetrik-Systeme NRS11 & ORS18
D65: 9 und 16stufige Farbreihen für 10 Bunttöne

Ausgabe: Farbmimetrisches Reflexions-System ORS18

für Buntton $h^* = lab^*h = 25/360 = 0.069$

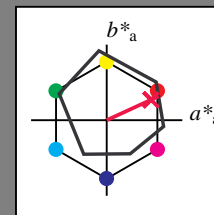
lab^*tch und lab^*nch

D65: Buntton R

LCH*Ma: 48 75 25

rgb*Ma: 1.0 0.0 0.32

Dreiecks-Helligkeit t^*



ORS18; adaptierte CIELAB-Daten

	$L^*=L^*_a$	a^*_a	b^*_a	$C^*_{ab,a}$	$h^*_{ab,a}$
OMa	47.94	65.37	50.52	82.62	38
YMa	90.37	-10.27	91.77	92.34	96
LMa	50.9	-62.79	34.95	71.87	151
CMa	58.62	-30.35	-45.01	54.3	236
VMa	25.71	31.11	-44.42	54.24	305
MMa	48.13	75.27	-8.35	75.73	354
N _{Ma}	18.01	0.0	0.0	0.0	0
W _{Ma}	95.41	0.0	0.0	0.0	0
RCIE	39.92	58.66	26.98	64.56	25
JCIE	81.26	-2.17	67.76	67.79	92
GCIE	52.23	-42.26	11.75	43.87	164
BCIE	30.57	1.15	-46.84	46.87	271

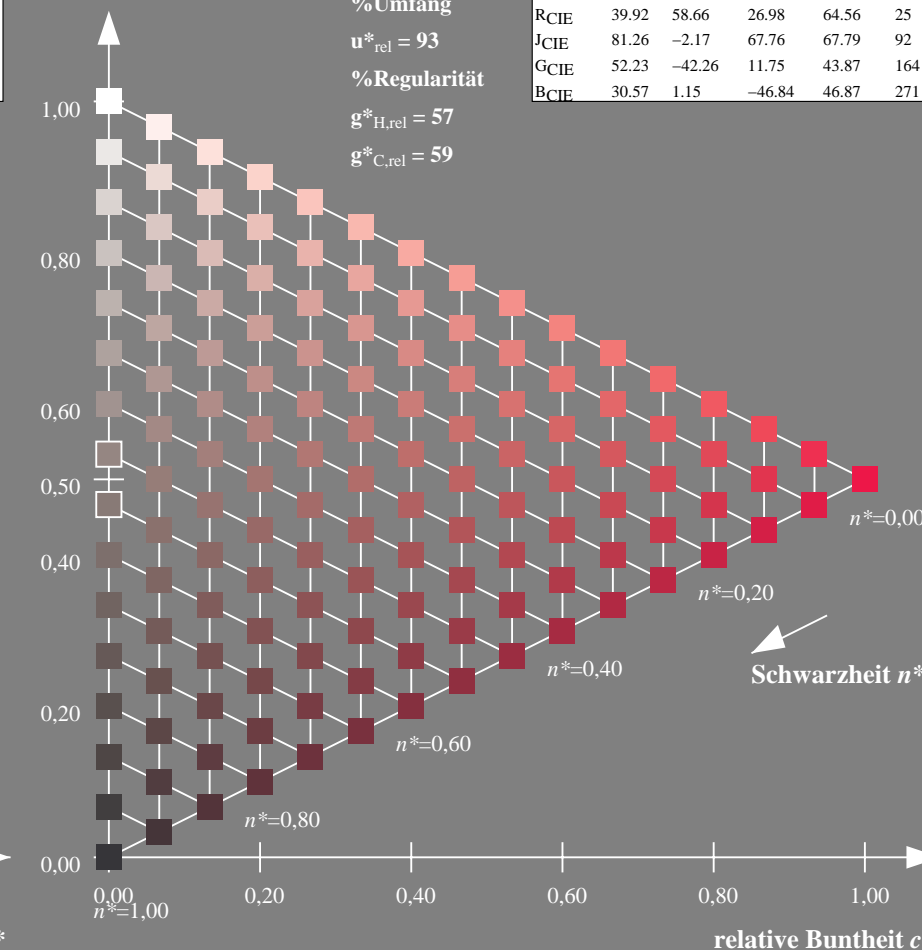
%Umfang

$u^*_{rel} = 93$

%Regularität

$g^*_{H,rel} = 57$

$g^*_{C,rel} = 59$



16stufige Reihen für konstanten CIELAB Buntton 25/360 = 0.069 (rechts)

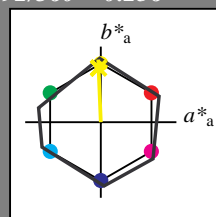
input: $cmy0^*$ setcmykcolor
output: no change compared to input

Eingabe: Farbmétrisches Reflexions-System NRS11

für Buntton $h^* = lab^*h = 92/360 = 0.256$
 lab^*tch und lab^*nch

D65: Buntton J
LCH*Ma: 53 83 92
rgb*Ma: 0.98 1.0 0.0

Dreiecks-Helligkeit t^*



NRS11; adaptierte CIELAB-Daten					
	$L^*=L_a^*$	a_a^*	b_a^*	$C_{ab,a}^*$	$h_{ab,a}^*$
RMa	53.2	77.06	34.32	84.36	24
JMa	53.2	-1.51	84.38	84.39	91
GMa	53.2	-82.27	18.98	84.44	167
G50B _{Ma}	53.2	-77.72	-32.98	84.44	203
B _{Ma}	53.2	4.37	-84.28	84.41	273
B50R _{Ma}	53.2	69.09	-48.41	84.37	325
N _{Ma}	10.99	0.0	0.0	0.0	0
W _{Ma}	95.41	0.0	0.0	0.0	0
RCIE	39.92	58.69	27.98	65.01	25
JCIE	81.26	-2.9	71.56	71.62	92
GCIE	52.23	-42.45	13.59	44.59	162
BCIE	30.57	1.35	-46.48	46.51	272

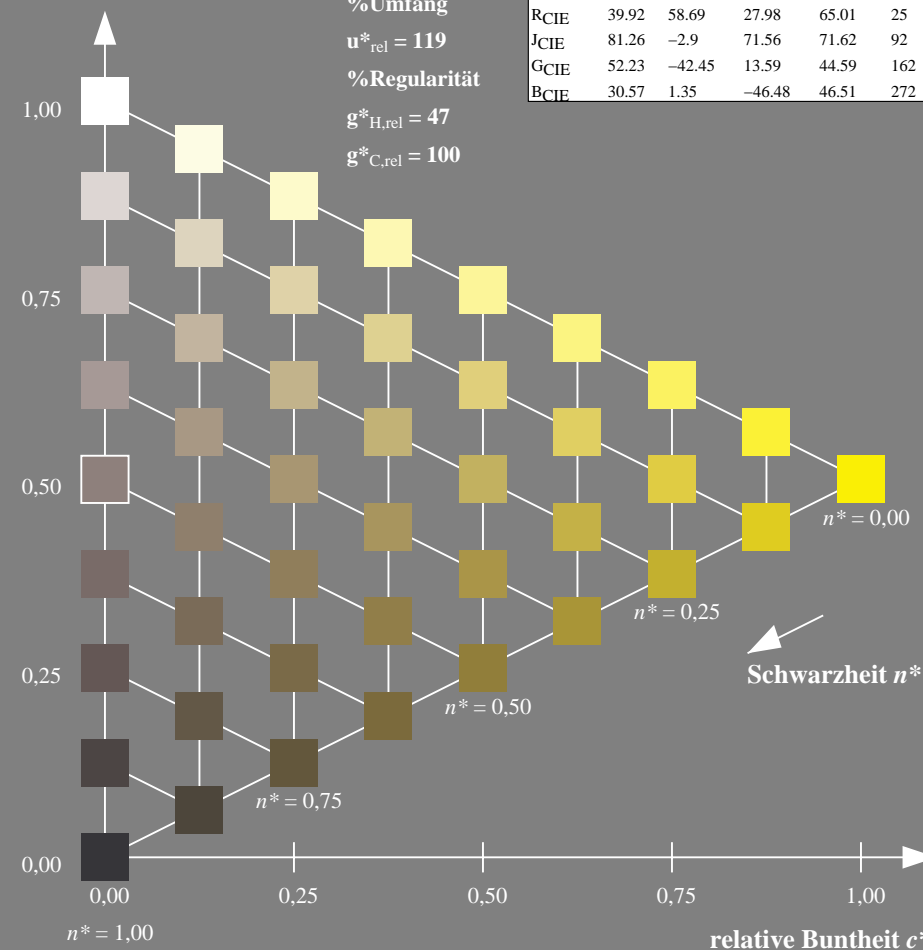
%Umfang

$u_{rel}^* = 119$

%Regularität

$g_{H,rel}^* = 47$

$g_{C,rel}^* = 100$



UG770-7, 9stufige Reihen für konstanten CIELAB Buntton 92/360 = 0.256 (links)

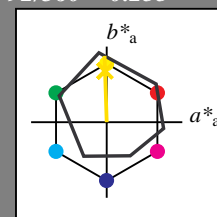
BAM-Prüfvorlage UG77; Farbmétrik-Systeme NRS11 & ORS18
D65: 9 und 16stufige Farbreihen für 10 Bunttöne

Ausgabe: Farbmétrisches Reflexions-System ORS18

für Buntton $h^* = lab^*h = 92/360 = 0.255$
 lab^*tch und lab^*nch

D65: Buntton J
LCH*Ma: 86 88 92
rgb*Ma: 1.0 0.9 0.0

Dreiecks-Helligkeit t^*



ORS18; adaptierte CIELAB-Daten					
	$L^*=L_a^*$	a_a^*	b_a^*	$C_{ab,a}^*$	$h_{ab,a}^*$
OMa	47.94	65.37	50.52	82.62	38
YMa	90.37	-10.27	91.77	92.34	96
LMa	50.9	-62.79	34.95	71.87	151
CMa	58.62	-30.35	-45.01	54.3	236
VMa	25.71	31.11	-44.42	54.24	305
MMa	48.13	75.27	-8.35	75.73	354
N _{Ma}	18.01	0.0	0.0	0.0	0
W _{Ma}	95.41	0.0	0.0	0.0	0
RCIE	39.92	58.66	26.98	64.56	25
JCIE	81.26	-2.17	67.76	67.79	92
GCIE	52.23	-42.26	11.75	43.87	164
BCIE	30.57	1.15	-46.84	46.87	271

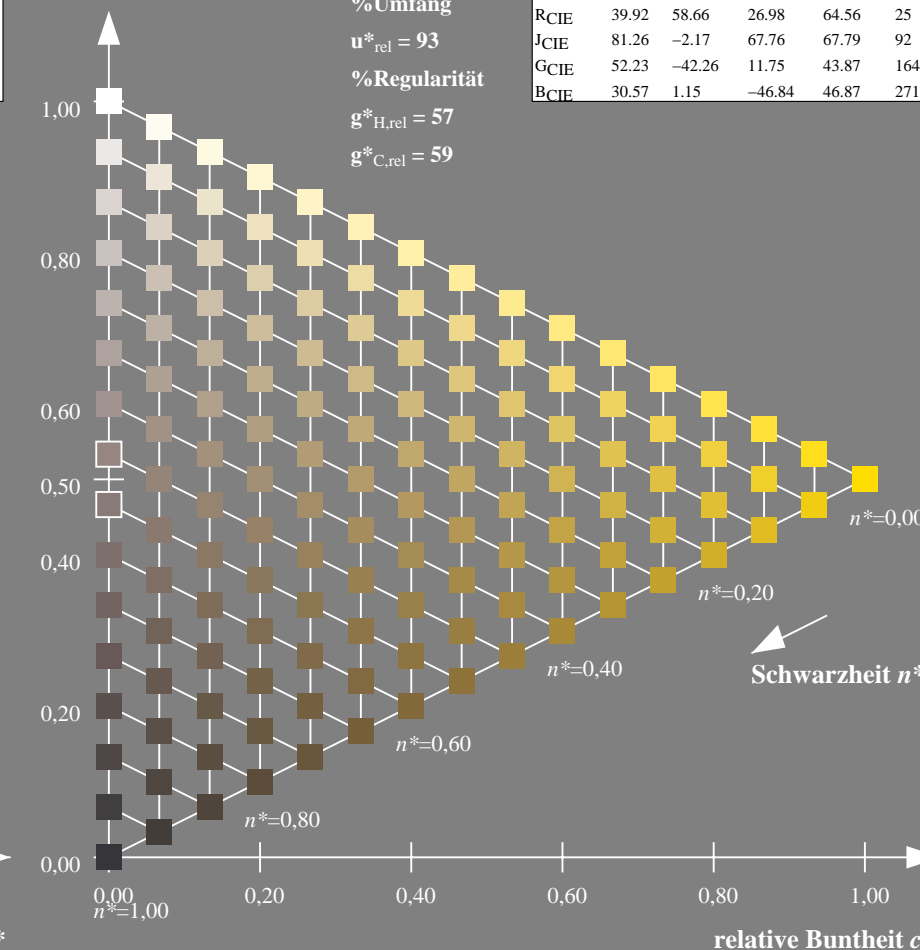
%Umfang

$u_{rel}^* = 93$

%Regularität

$g_{H,rel}^* = 57$

$g_{C,rel}^* = 59$



16stufige Reihen für konstanten CIELAB Buntton 92/360 = 0.255 (rechts)

input: $cmY0^*$ set $cmYcolor$
output: no change compared to input

Eingabe: Farbmétrisches Reflexions-System NRS11

für Buntton $h^* = lab^*h = 162/360 = 0.451$

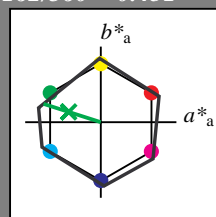
lab^*tch und lab^*nch

D65: Buntton G

LCH*Ma: 53 80 162

rgb*Ma: 0.08 1.0 0.0

Dreiecks-Helligkeit t^*



NRS11; adaptierte CIELAB-Daten

	$L^*=L_a^*$	a_a^*	b_a^*	$C_{ab,a}^*$	$h_{ab,a}^*$
RMa	53.2	77.06	34.32	84.36	24
JMa	53.2	-1.51	84.38	84.39	91
GMa	53.2	-82.27	18.98	84.44	167
G50B _{Ma}	53.2	-77.72	-32.98	84.44	203
B _{Ma}	53.2	4.37	-84.28	84.41	273
B50R _{Ma}	53.2	69.09	-48.41	84.37	325
N _{Ma}	10.99	0.0	0.0	0.0	0
W _{Ma}	95.41	0.0	0.0	0.0	0
RCIE	39.92	58.69	27.98	65.01	25
JCIE	81.26	-2.9	71.56	71.62	92
GCIE	52.23	-42.45	13.59	44.59	162
BCIE	30.57	1.35	-46.48	46.51	272

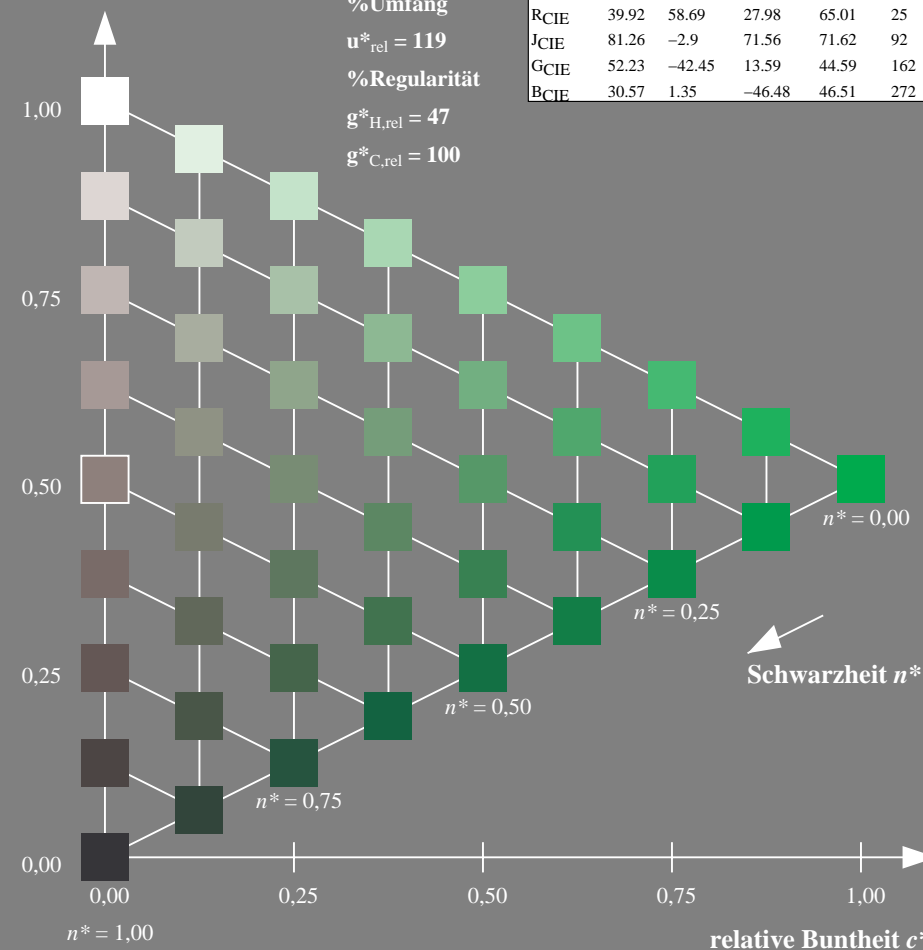
%Umfang

$u_{rel}^* = 119$

%Regularität

$g_{H,rel}^* = 47$

$g_{C,rel}^* = 100$



Ausgabe: Farbmétrisches Reflexions-System ORS18

für Buntton $h^* = lab^*h = 164/360 = 0.457$

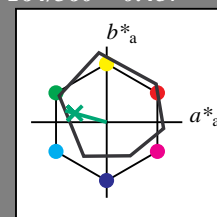
lab^*tch und lab^*nch

D65: Buntton G

LCH*Ma: 53 57 164

rgb*Ma: 0.0 1.0 0.25

Dreiecks-Helligkeit t^*



ORS18; adaptierte CIELAB-Daten

	$L^*=L_a^*$	a_a^*	b_a^*	$C_{ab,a}^*$	$h_{ab,a}^*$
OMa	47.94	65.37	50.52	82.62	38
YMa	90.37	-10.27	91.77	92.34	96
LMa	50.9	-62.79	34.95	71.87	151
CMa	58.62	-30.35	-45.01	54.3	236
VMa	25.71	31.11	-44.42	54.24	305
MMa	48.13	75.27	-8.35	75.73	354
N _{Ma}	18.01	0.0	0.0	0.0	0
W _{Ma}	95.41	0.0	0.0	0.0	0
RCIE	39.92	58.66	26.98	64.56	25
JCIE	81.26	-2.17	67.76	67.79	92
GCIE	52.23	-42.26	11.75	43.87	164
BCIE	30.57	1.15	-46.84	46.87	271

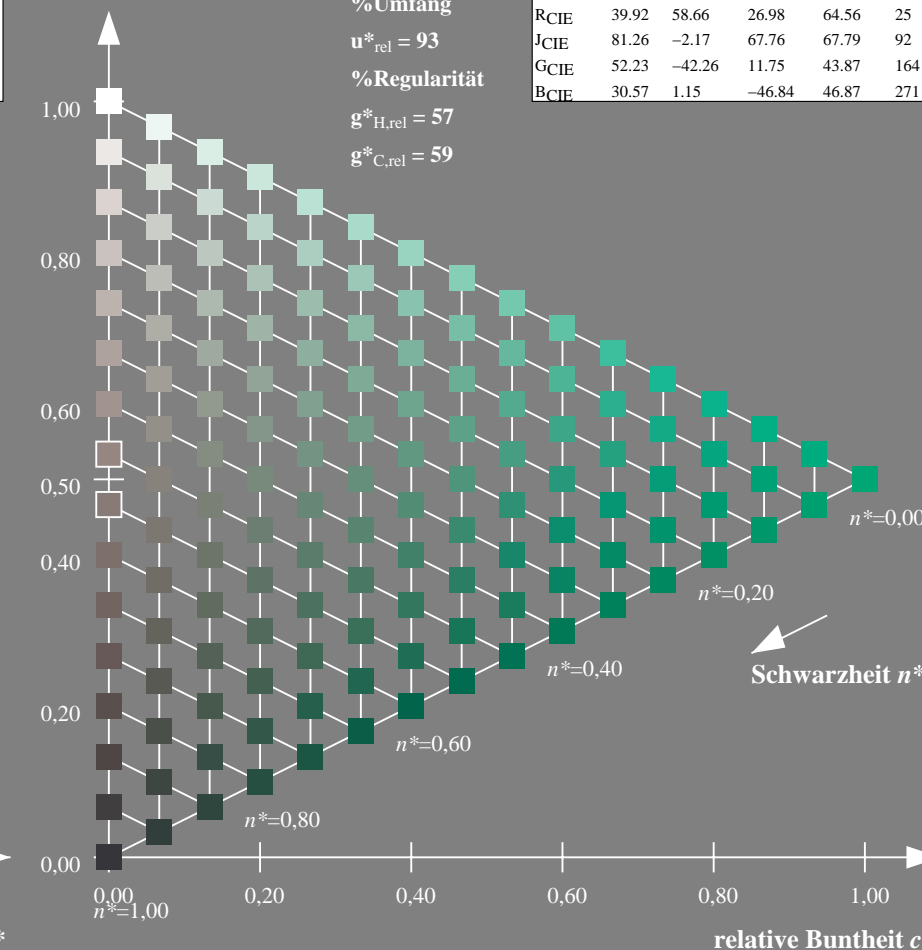
%Umfang

$u_{rel}^* = 93$

%Regularität

$g_{H,rel}^* = 57$

$g_{C,rel}^* = 59$



UG770-7, 9stufige Reihen für konstanten CIELAB Buntton 162/360 = 0.451 (links)

16stufige Reihen für konstanten CIELAB Buntton 164/360 = 0.457 (rechts)

BAM-Prüfvorlage UG77; Farbmétrik-Systeme NRS11 & ORS18input: $cmy0^*$ setcmykcolor

D65: 9 und 16stufige Farbreihen für 10 Bunttöne

output: no change compared to input

Eingabe: Farbmimetrisches Reflexions-System NRS11

für Buntton $h^* = lab^*h = 272/360 = 0,755$

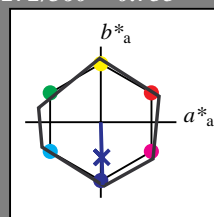
lab^*tch und lab^*nch

D65: Buntton B

LCH*Ma: 53 83 272

rgb*Ma: 0.0 0.02 1.0

Dreiecks-Helligkeit t^*



NRS11; adaptierte CIELAB-Daten

	$L^*=L^*_a$	a^*_a	b^*_a	$C^*_{ab,a}$	$h^*_{ab,a}$
RMa	53.2	77.06	34.32	84.36	24
JMa	53.2	-1.51	84.38	84.39	91
GMa	53.2	-82.27	18.98	84.44	167
G50B _{Ma}	53.2	-77.72	-32.98	84.44	203
B _{Ma}	53.2	4.37	-84.28	84.41	273
B50R _{Ma}	53.2	69.09	-48.41	84.37	325
N _{Ma}	10.99	0.0	0.0	0.0	0
W _{Ma}	95.41	0.0	0.0	0.0	0
RCIE	39.92	58.69	27.98	65.01	25
JCIE	81.26	-2.9	71.56	71.62	92
GCIE	52.23	-42.45	13.59	44.59	162
BCIE	30.57	1.35	-46.48	46.51	272

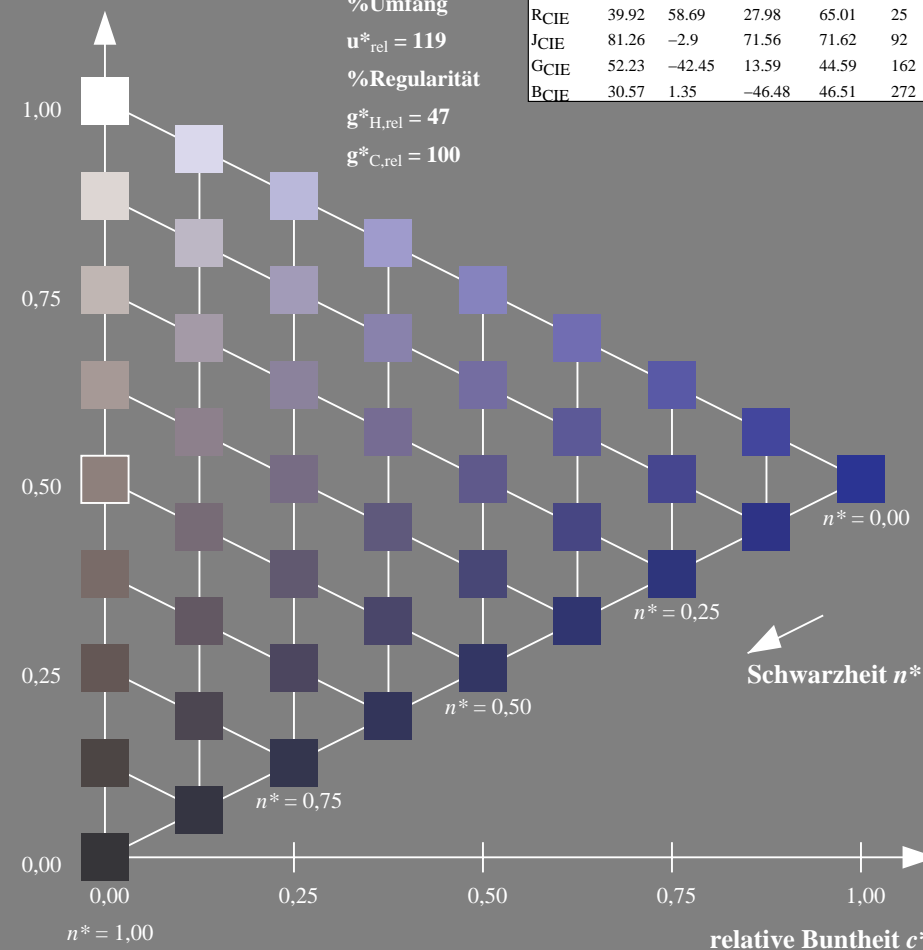
%Umfang

$u^*_{rel} = 119$

%Regularität

$g^*_{H,rel} = 47$

$g^*_{C,rel} = 100$



Ausgabe: Farbmimetrisches Reflexions-System ORS18

für Buntton $h^* = lab^*h = 271/360 = 0,754$

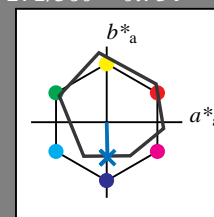
lab^*tch und lab^*nch

D65: Buntton B

LCH*Ma: 42 45 271

rgb*Ma: 0.0 0.49 1.0

Dreiecks-Helligkeit t^*



ORS18; adaptierte CIELAB-Daten

	$L^*=L^*_a$	a^*_a	b^*_a	$C^*_{ab,a}$	$h^*_{ab,a}$
OMa	47.94	65.37	50.52	82.62	38
YMa	90.37	-10.27	91.77	92.34	96
LMa	50.9	-62.79	34.95	71.87	151
CMa	58.62	-30.35	-45.01	54.3	236
VMa	25.71	31.11	-44.42	54.24	305
MMa	48.13	75.27	-8.35	75.73	354
N _{Ma}	18.01	0.0	0.0	0.0	0
W _{Ma}	95.41	0.0	0.0	0.0	0
RCIE	39.92	58.66	26.98	64.56	25
JCIE	81.26	-2.17	67.76	67.79	92
GCIE	52.23	-42.26	11.75	43.87	164
BCIE	30.57	1.15	-46.84	46.87	271

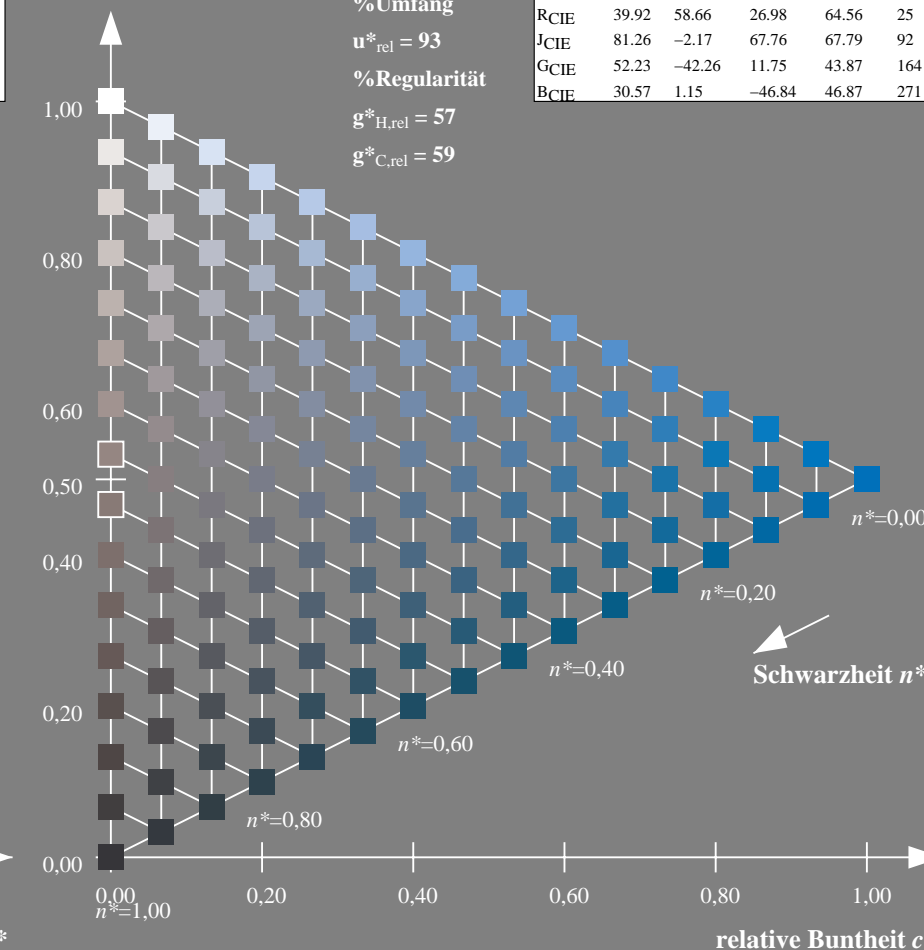
%Umfang

$u^*_{rel} = 93$

%Regularität

$g^*_{H,rel} = 57$

$g^*_{C,rel} = 59$



UG770-7, 9stufige Reihen für konstanten CIELAB Buntton 272/360 = 0.755 (links)

16stufige Reihen für konstanten CIELAB Buntton 271/360 = 0.754 (rechts)

BAM-Prüfvorlage UG77; Farbmimetrik-Systeme NRS11 & ORS18input: *cmy0* setcmykcolor*

D65: 9 und 16stufige Farbreihen für 10 Bunttöne

output: *no change compared to input*